



MEC8211 – Vérification et Validation en Modélisation Numérique

Devoir 2 : Vérification de code – MMS
H25

Dorian Stefan Dumitru 2080089
Hieu Nhan Tran 2152473
Jacob Tremblay 2154148

a) MDF modifié pour un problème instationnaire

- i. On souhaite résoudre l'équation instationnaire suivante:

$$\frac{\partial C}{\partial t} = D_{eff} \nabla^2 C - S + f \text{ où } S = kC \text{ et } f \text{ représente le terme source additionnel avec la MMS}$$

$$\frac{\partial C}{\partial t} = D_{eff} \left[\frac{\partial^2 C}{\partial r^2} + \frac{1}{r} \frac{\partial C}{\partial r} \right] - kC + \boxed{f} \longrightarrow \text{Les démarches concernant le choix du terme source sont détaillées en c)}$$

- ii. Pour tous les nœud $i \in [2, 4]$, en remplaçant les dérivées par les schémas de différenciation imposés

$$\left. \frac{\partial C}{\partial t} \right|_i^t \approx \frac{C_i^t - C_i^{t-1}}{\Delta t}$$

Approximation Euler implicite de la dérivée 1^{ère} temporelle

$$\left. \frac{\partial C}{\partial r} \right|_i^t \approx \frac{C_{i+1}^t - C_{i-1}^t}{2\Delta r}$$

Approximation centrée de la dérivée 1^{ère} spatiale

$$\left. \frac{\partial^2 C}{\partial r^2} \right|_i^t \approx \frac{C_{i+1}^t - 2C_i^t + C_{i-1}^t}{\Delta r^2}$$

Approximation centrée de la dérivée 2^{ème} spatiale

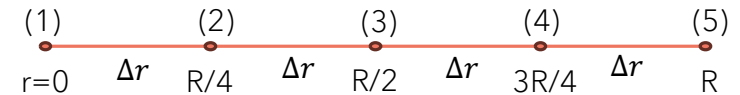
En remaniant l'équation instationnaire et en utilisant un schéma temporel implicite, on obtient finalement l'équation suivante au nœud i en remplaçant $t \rightarrow t + 1$ et $t - 1 \rightarrow t$:

$$-C_{i-1}^{t+1} \left[\Delta t D_{eff} \left(\frac{1}{\Delta r^2} - \frac{1}{2r_i \Delta r} \right) \right] + C_i^{t+1} \left[\Delta t D_{eff} \frac{2}{\Delta r^2} + \Delta t k + 1 \right] - C_{i+1}^{t+1} \left[\Delta t D_{eff} \left(\frac{1}{\Delta r^2} + \frac{1}{2r_i \Delta r} \right) \right] = C_i^t - \Delta t f_i^{t+1}$$

Aux nœuds (1) et (5), on applique les conditions limites imposées:

$$(1), \text{ Neumann } \longrightarrow \left. \frac{\partial C}{\partial r} \right|_{i=1}^t \approx \frac{-C_3^t + 4C_2^t - 3C_1^t}{2\Delta r} = 0 \quad (5), \text{ Dirichlet } \longrightarrow C|_{i=5}^t = C_e$$

À noter que la condition initiale imposée est $C|_i^{t=0} = 0$



a)

- Comme les concentrations C_i^t sont connues (à la suite à la suite de la condition initiale à $t = 0$ avant d'entrer dans la boucle pour chaque pas de temps), il suffit de résoudre le système matriciel formé des équations précédentes pour obtenir les concentrations au pas de temps $t + 1$. Avec 5 points en espace, le système matriciel à résoudre est le suivant :

$$\begin{bmatrix} -D_{eff}\Delta t \left(\frac{1}{\Delta r^2} - \frac{1}{2r_2\Delta r} \right) & D_{eff}\Delta t \frac{2}{\Delta r^2} + k\Delta t + 1 & D_{eff}\Delta t \left(\frac{1}{\Delta r^2} + \frac{1}{2r_2\Delta r} \right) & 0 & 0 \\ 0 & -D_{eff}\Delta t \left(\frac{1}{\Delta r^2} - \frac{1}{2r_3\Delta r} \right) & D_{eff}\Delta t \frac{2}{\Delta r^2} + k\Delta t + 1 & D_{eff}\Delta t \left(\frac{1}{\Delta r^2} + \frac{1}{2r_3\Delta r} \right) & 0 \\ 0 & 0 & -D_{eff}\Delta t \left(\frac{1}{\Delta r^2} - \frac{1}{2r_4\Delta r} \right) & D_{eff}\Delta t \frac{2}{\Delta r^2} + k\Delta t + 1 & D_{eff}\Delta t \left(\frac{1}{\Delta r^2} + \frac{1}{2r_4\Delta r} \right) \\ 0 & 0 & 0 & 0 & 1 \end{bmatrix} \begin{bmatrix} C_1^{t+1} \\ C_2^{t+1} \\ C_3^{t+1} \\ C_4^{t+1} \\ C_5^{t+1} \end{bmatrix} = \begin{bmatrix} 0 \\ C_2^t + f_2^{t+1} \\ C_3^t + f_3^{t+1} \\ C_4^t + f_4^{t+1} \\ C_e \end{bmatrix}$$

où $f_i^{t+1} = 0$ lorsque la MMS n'est pas utilisée à la suite à la vérification du code (voir en f).

- Ce système est résolu pour chaque pas de temps jusqu'à ce que le temps final imposé soit atteint.

b) • La solution manufacturée est : $\hat{C} = C_e \left(e^{1.0 \cdot 10^{-10} t} - 1 \right) \cos \left(\frac{\pi r^2}{2R^2} \right) + C_e$

- Elle a été choisie arbitrairement (en prenant compte que les dérivées doivent être lisses et non-nulles) de manière à respecter les conditions limites du problème original à résoudre. La condition initiale du problème original n'est toutefois pas respectée, ce qui n'est pas un problème car on ne cherche qu'à vérifier notre code et non à avoir un résultat physique réel.

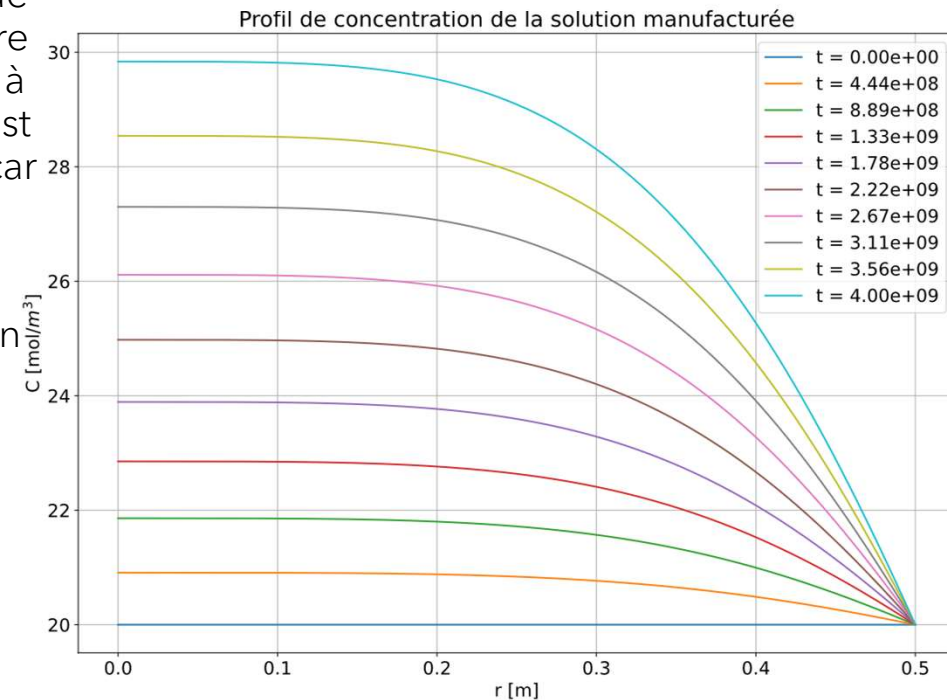
- Le graphique suivant présente le profil de concentration de la solution manufacturée à différents temps.

- Les conditions limites et initiales de la solution manufacturée, calculées à l'aide de SymPy donnent :

$$\left. \frac{\partial \hat{C}}{\partial r} \right|_{r=0} = - \frac{\pi C_e r}{R^2} \left(e^{1.0 \cdot 10^{-10} t} - 1 \right) \sin \left(\frac{\pi r^2}{2R^2} \right) \Big|_{r=0} = 0$$

$$\hat{C} \Big|_{r=R} = C_e$$

$$\hat{C} \Big|_{t=0} = C_e$$



En effet, on remarque que

- La pente à $r = 0$ est toujours nulle.
- La concentration à $r = R$ est toujours égale à $C_e = 20$.
- Le profil de concentration au temps initial $t = 0$ est égal à C_e .

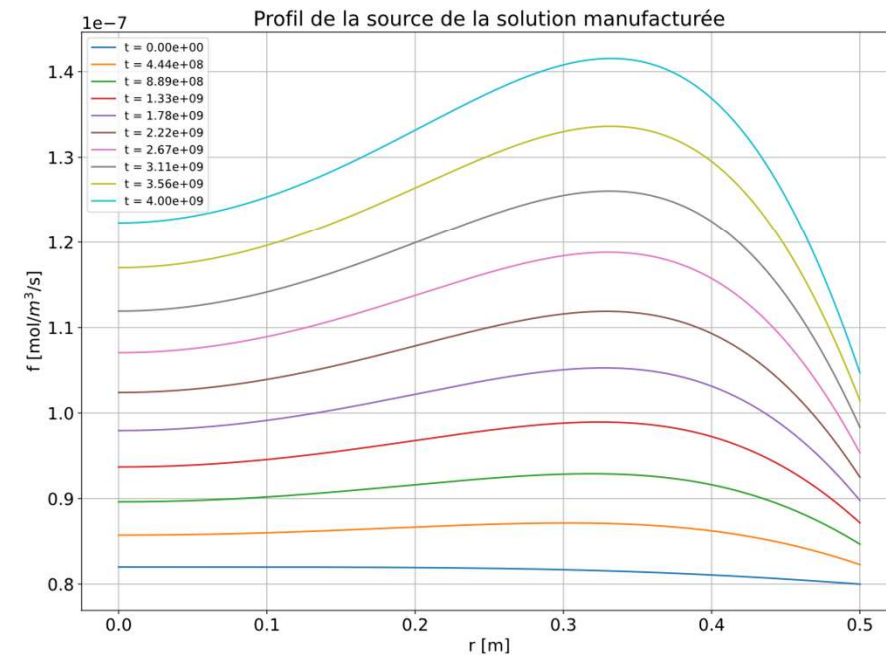
Les conditions limites et initiales calculées par SymPy sont validées graphiquement.

c)

- L'équation à résoudre avec un terme source quelconque est : $\frac{\partial C}{\partial t} = D_{eff} \nabla^2 C - S + f$
- En isolant le terme source f , on retrouve : $f = \frac{\partial C}{\partial t} - D_{eff} \nabla^2 C + S = \frac{\partial C}{\partial t} - D_{eff} \frac{1}{r} \frac{\partial}{\partial r} \left(r \frac{\partial C}{\partial r} \right) + kC$
- En insérant la solution manufacturée \hat{C} de la question **b)** dans l'équation du terme source et en utilisant la librairie SymPy pour faire des calculs symboliques, on retrouve :

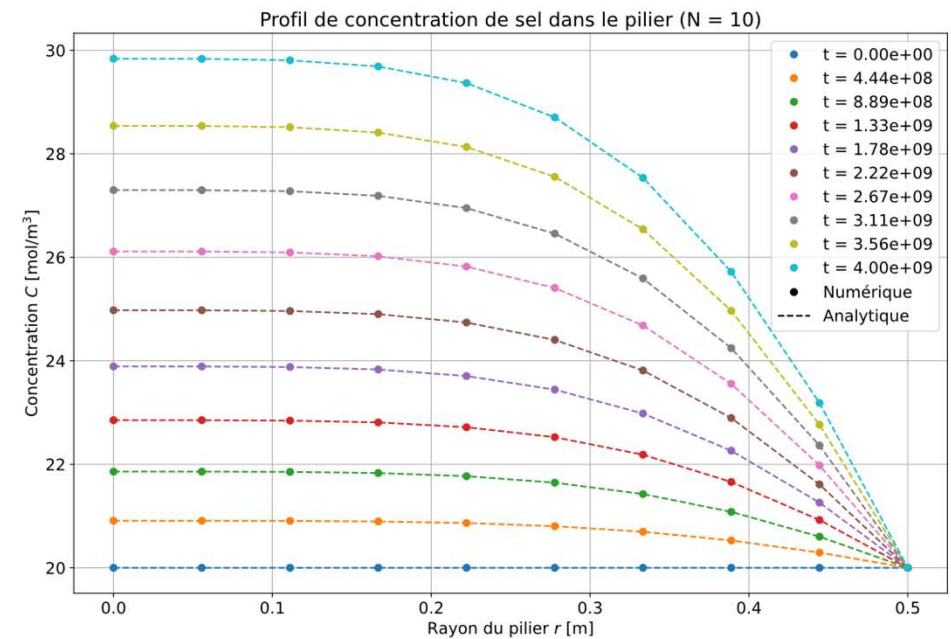
$$f = \frac{1}{R^4} \left[C_e \left(-\pi D_{eff} \left(1 - e^{1.0 \cdot 10^{-10} t} \right) \left(2R^2 \sin \left(\frac{\pi r^2}{2R^2} \right) + \pi r^2 \cos \left(\frac{\pi r^2}{2R^2} \right) \right) \right. \right. \\ \left. \left. + R^4 \left(k \left(- \left(1 - e^{1.0 \cdot 10^{-10} t} \right) \cos \left(\frac{\pi r^2}{2R^2} \right) + 1 \right) + 1.0 \cdot 10^{-10} e^{1.0 \cdot 10^{-10} t} \cos \left(\frac{\pi r^2}{2R^2} \right) \right) \right) \right]$$

- Le graphique suivant présente le profil de la source de la solution manufacturée à différents temps.



d)

- Le graphique suivant compare la solution MMS analytique avec les résultats obtenus par le schéma numérique avec le terme source ajouté.
- On remarque qu'avec seulement 10 points, les solutions numérique et analytique sont confondues graphiquement. Cela indique possiblement que le rayon de convergence est atteint à partir de 10 points.



d) Ordres de convergence formels – temporel et spatial

- Pour un terme source nul ($f = 0$), l'opérateur continu est $L(u) = \frac{\partial C}{\partial t} - D_{eff} \left[\frac{\partial^2 C}{\partial r^2} + \frac{1}{r} \frac{\partial C}{\partial r} \right] + kC$

- Comme rappel, voici les schémas d'approximation d'ordre 2 spatial et d'ordre 1 temporel:

$$\left. \frac{\partial C}{\partial t} \right|_i^t \approx \frac{C_i^t - C_i^{t-1}}{\Delta t}$$

Approximation Euler implicite de la dérivée 1^{ère} temporelle

$$\left. \frac{1}{r} \frac{\partial C}{\partial r} \right|_i^t \approx \frac{1}{r_i} \cdot \frac{C_{i+1}^t - C_{i-1}^t}{2\Delta r}$$

Approximation centrée de la dérivée 1^{ère} spatiale

$$\left. \frac{\partial^2 C}{\partial r^2} \right|_i^t \approx \frac{C_{i+1}^t - 2C_i^t + C_{i-1}^t}{\Delta r^2}$$

Approximation centrée de la dérivée 2^{ème} spatiale

- L'opérateur discret devient donc: $L(\tilde{u}) = \frac{C_i^{t+1} - C_i^t}{\Delta t} - D_{eff} \left[\frac{C_{i+1}^{t+1} - 2C_i^{t+1} + C_{i-1}^{t+1}}{\Delta r^2} + \frac{1}{r_i} \frac{C_{i+1}^{t+1} - C_{i-1}^{t+1}}{2\Delta r} \right] + kC_i^{t+1}$
- Développements en série de Taylor pour les approximations spatiales (autour de r_i ; $C_i^t = C(r_i)$)

$$C_{i+1}^t = C(r_i) + C'(r_i)\Delta r + C''(r_i)\frac{\Delta r^2}{2} + C'''(r_i)\frac{\Delta r^3}{6} + O(\Delta r^4)$$

$$C_{i-1}^t = C(r_i) - C'(r_i)\Delta r + C''(r_i)\frac{\Delta r^2}{2} - C'''(r_i)\frac{\Delta r^3}{6} + O(\Delta r^4)$$

- Développements en série de Taylor pour l'approximation temporelle (autour de t_i ; $C_i^t = C(t)$)

$$C_i^{t+1} = C(t) + C'(t)\Delta t + C''(t)\frac{\Delta t^2}{2} + C'''(t)\frac{\Delta t^3}{6} + O(\Delta t^4)$$

d) Ordres de convergence formels – temporel et spatial

- On introduit donc les Développements de Taylor dans chaque approximation :

Approximation *Euler implicite* de la dérivée 1^{ère} temporelle $\frac{C_i^{t+1} - C_i^t}{\Delta t} = C'(t) + C''(t) \frac{\Delta t}{2} + C'''(t) \frac{\Delta t^2}{6} + O(\Delta t^4)$

Approximation centrée de la dérivée 1^{ère} spatiale $\frac{C_{i+1}^t - 2C_i^t + C_{i-1}^t}{\Delta r^2} = C''(r_i) + O(\Delta r^4)$

Approximation centrée de la dérivée 2^{ème} spatiale $\frac{1}{r_i} \cdot \frac{C_{i+1}^t - C_{i-1}^t}{2\Delta r} = \frac{1}{r_i} \cdot C'(r_i) + \frac{1}{6r_i} \cdot C'''(r_i) \Delta r^2 + O(\Delta r^4)$

- En combinant tous les termes dans l'équation de l'opérateur continu, on obtient $L_h(C) = L(C) + TE_h(C)$

$$\begin{aligned} \Rightarrow & \frac{C_i^{t+1} - C_i^t}{\Delta t} - D_{eff} \left[\frac{C_{i+1}^{t+1} - 2C_i^{t+1} + C_{i-1}^{t+1}}{\Delta r^2} + \frac{1}{r_i} \frac{C_{i+1}^{t+1} - C_{i-1}^{t+1}}{2\Delta r} \right] + kC_i^{t+1} = \\ & C'(t) + C''(t) \frac{\Delta t}{2} + C'''(t) \frac{\Delta t^2}{6} + O(\Delta t^4) - D_{eff} \left[C''(r_i) + O(\Delta r^4) + \frac{1}{r_i} \cdot C'(r_i) + \frac{1}{6r_i} \cdot C'''(r_i) \Delta r^2 + O(\Delta r^4) \right] \\ & + k(C(t) + C'(t) \Delta t + C''(t) \frac{\Delta t^2}{2} + C'''(t) \frac{\Delta t^3}{6} + O(\Delta t^4)) = \\ & C'(t) + C''(t) \frac{\Delta t}{2} + O(\Delta t^2) - D_{eff} \left[C''(r_i) + \frac{1}{r_i} \cdot C'(r_i) + \frac{1}{6r_i} \cdot C'''(r_i) \Delta r^2 + O(\Delta r^4) \right] \\ & + k(C(t) + C'(t) \Delta t + O(\Delta t^2)) \\ \Rightarrow & \frac{C_i^{t+1} - C_i^t}{\Delta t} - D_{eff} \left[\frac{C_{i+1}^{t+1} - 2C_i^{t+1} + C_{i-1}^{t+1}}{\Delta r^2} + \frac{1}{r_i} \frac{C_{i+1}^{t+1} - C_{i-1}^{t+1}}{2\Delta r} \right] + kC_i^{t+1} = \\ & C'(t) - D_{eff} \left[C''(r_i) + \frac{1}{r_i} \cdot C'(r_i) \right] + kC(t) + \left[\frac{C''(t)}{2} + kC'(t) \right] \Delta t + \left[-D_{eff} \frac{1}{6r_i} \cdot C'''(r_i) \right] \Delta r^2 + O(\Delta t^2, \Delta r^4) \end{aligned}$$

- Ainsi, $TE_h(C) = \left[\frac{C''(t)}{2} + kC'(t) \right] \Delta t + \left[-D_{eff} \frac{1}{6r_i} \cdot C'''(r_i) \right] \Delta r^2 + O(\Delta t^2, \Delta r^4)$
- La méthode est donc formellement
- d'ordre 1 en temps
 - d'ordre 2 en espace

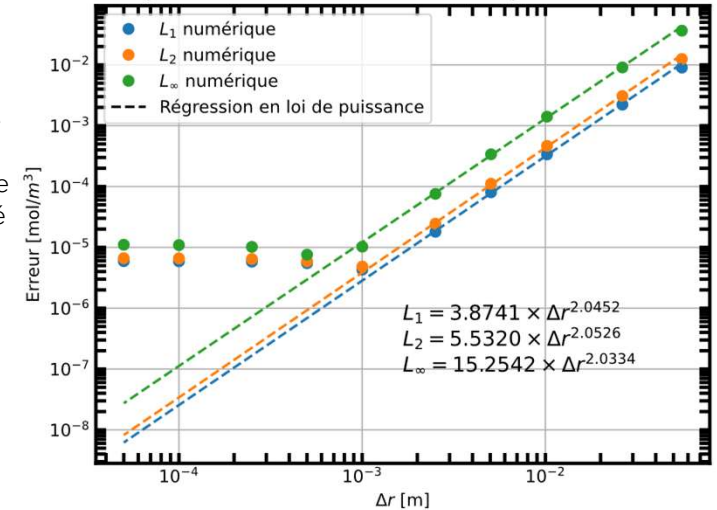
d)

- Pour l'analyse de convergence, les propriétés du problème originel sont utilisées :

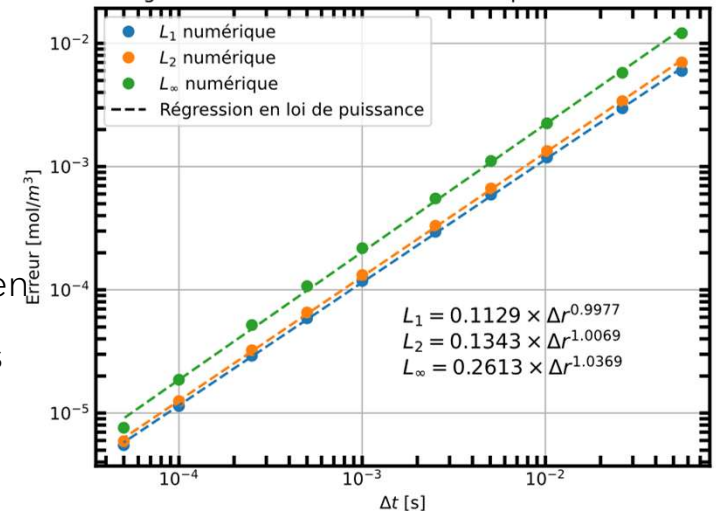
$$\left. \begin{array}{l} R = 0.5 \text{ m} \\ C_e = 20 \text{ mol/m}^3 \\ D_{eff} = 10^{-10} \text{ m}^2/\text{s} \\ k = 4 \times 10^{-9} \text{ s}^{-1} \\ t_{final} = 4 \times 10^9 \text{ s} \end{array} \right\} Da = \frac{k C_e^{n-1} R^2}{D_{eff}} = 10 \quad \left. \begin{array}{l} n = 1 \\ \uparrow \\ \text{Le nombre} \\ \text{adimensionnel de} \\ \text{Damköhler} \\ \text{respecte l'ordre de} \\ \text{grandeur souhaité} \\ \text{entre 0.1 et 10.} \end{array} \right\}$$

- L'analyse de convergence en espace montre que l'erreur entre la solution numérique et la solution manufacturée suit une relation d'ordre 2 avec la taille des éléments, ce qui est attendu pour un schéma en différences finies d'ordre 2 en espace (voir diapos 7-8). Cependant, lorsque le pas spatial devient très petit ($\approx 10^{-3}$), la diminution de l'erreur sature, indiquant que l'erreur temporelle devient dominante. Le pas de temps Δt a été choisi aussi petit que possible tout en maintenant un temps de calcul raisonnable.
- Ce phénomène s'explique par le fait que l'erreur globale est influencée à la fois par la discrétisation spatiale et temporelle. Une fois l'erreur spatiale suffisamment réduite, l'erreur temporelle due au choix de Δt limite la précision de la solution.
- L'analyse de convergence en temps montre que l'erreur entre la solution numérique et la solution manufacturée suit une relation d'ordre 1 avec le pas de temps, ce qui est attendu pour un schéma en différences finies d'ordre 1 en temps (voir diapos 7-8). Dans cette étude, le pas en espace Δr a été choisi suffisamment fin pour ne pas limiter la précision de la solution. Ainsi, la diminution de l'erreur est directement liée à la réduction du pas de temps Δt , sans être influencée par des erreurs d'approximation spatiale.

Convergence de l'erreur en fonction de Δr pour $\Delta t = 4.00 \times 10^5 \text{ s}$





Convergence de l'erreur en fonction de Δt pour $\Delta r = 5.01 \times 10^{-4} \text{ m}$





e)

- Tous les codes nécessaires pour l'obtention des résultats se trouvent dans le répertoire *src/Devoir2* du GitHub : https://github.com/NhanT2002/MEC8211_Devoir
 - Le code principal *main.cpp* pour les calculs a été écrit en C++ en raison de la rapidité de calcul nécessaire pour effectuer l'étude de convergence. Les instructions pour compiler le code sont dans le fichier *README.md*.
 - Pour l'étude de convergence, un script Bash automatisé *convergence_analysis.sh* a été utilisé où les valeurs de discrétisation spatiale (N) et temporelle (K) sont modifiées automatiquement dans un fichier de paramètres. Ce script exécute ensuite le programme principal en C++ pour chaque configuration et extrait les erreurs L_1 , L_2 et L_∞ à partir de leur affichage dans la console. Les résultats sont enregistrés dans des fichiers CSV afin de faciliter leur post-traitement et la génération des graphiques d'analyse de convergence.
- 
- 

f)

- Comme on peut l'observer, les conditions limites et initiale sont respectées; à chaque pas de temps, la concentration à $r = 0.5\text{m}$ est de 20 mol/m^3 . De plus, la concentration initiale est nulle dans l'entièreté du pilier et la condition de Neumann en $r = 0\text{m}$ liée à la symétrie du problème est aussi toujours respectée.
- Les deux dernières courbes étant superposées, la solution en régime permanent semble être atteinte au temps final d'environ 126 ans.

